

徳島大学工学部 正員 沢嶋弘行  
 徳島大学工学部 正員 平尾 潔  
 KK 日建設計 正員 ○ 古市和行

1. はじめに 骨組構造の極限耐力に関する研究は多方面において活発に行なわれ、種々の観点に立った解析法がすでに数多く報告されてきており、著者らも、弾塑性状態にある骨組の不安定現象を検討して極限耐力を算定する一解釈法について報告した<sup>1)</sup>。しかしながら、これらの研究の大部分は部材に存在する不完全性の影響と無視したものであり、このあたりにまだ研究の余地が残されていると考えられる。本研究は、鋼部材に存在する種々の不完全性のうち、とくに元たわみを取り上げ、その波形を半波の正弦波形、および、2次の抛物線形と仮定した場合について、軸方向力が曲げ変形によよぼす影響を考慮した変形法の基本式を説明し、これを上記の解釈法に適用して、2,3の例題について京都大学大型計算機FACOM-230-75による自動解析を行なって検討したものである。なお、軸方向力による2次的な曲げを考慮した解釈においては、元たわみを有する部材はもとより、直線部材にあっても部材の中間点における塑性関節の発生に対する検討が要求されるが、本研究では、軸方向圧縮力をうける曲げ部材に対してこれを行ない、その結果、中間点に塑性関節が発生したときをさする部材（以下、中間塑性関節部材とよぶ）については、以後の荷重増分に対する基本式を別に説明して用いている。

2. 元たわみを考慮した変形法の基本式 部材の個有座標系をもつて元たわみを  $\eta_i = \eta_i^0$  と表わす場合、上述の2通りの波形は、部材の中点における元たわみ量  $\delta_0$  を用いて、それぞれ、 $\eta_i = \delta_0 S_i \sin \frac{\pi i}{l}$  (正弦波)、 $\eta_i = 4\delta_0 \frac{\sin(\lambda - \xi)}{\lambda} / l^2$  (抛物線)とかくことができる。いま、この  $\eta_i$  をもつ部材の個有座標系における基本式を式(1)のように表わせば、その各項の内容は部材の条件に応じて式(2)～(7)のようになる。

$$\begin{aligned} S_{ij} &= IK_{ii} \delta_i + IK_{ij} \delta_j + S_{io}, \quad S_{ij} = \{N, Q, M\}_{ij}^T, \quad \delta_i = \{\delta_x, \delta_y, \Theta\}_i^T, \quad S_{io} = \{N, Q, M\}_{io}^T, \\ S_{ji} &= IK_{ji} \delta_i + IK_{jj} \delta_j + S_{jo}, \quad S_{ji} = \{N, Q, M\}_{ji}^T, \quad \delta_j = \{\delta_x, \delta_y, \Theta\}_j^T, \quad S_{jo} = \{N, Q, M\}_{jo}^T. \end{aligned} \quad (1)$$

a)両端剛節部材  $a = EA/l$ ,  $b = 12EI/l^3$ ,  $c = 6EI/l^2$ ,  $d = 4EI/l$ ,  $e = 2EI/l$   
 $IK_{ii} = \begin{pmatrix} a & 0 & 0 \\ 0 & b\varphi_5 & c\varphi_2 \\ 0 & c\varphi_2 & d\varphi_3 \end{pmatrix}$ ,  $IK_{ij} = IK_{ji}^T = \begin{pmatrix} -a & 0 & 0 \\ 0 & -b\varphi_5 & c\varphi_2 \\ 0 & c\varphi_2 & e\varphi_4 \end{pmatrix}$ ,  $IK_{jj} = \begin{pmatrix} a & 0 & 0 \\ 0 & b\varphi_5 & -c\varphi_2 \\ 0 & -c\varphi_2 & d\varphi_3 \end{pmatrix}$ ,  $N_{io} = N_{jo} = 0$ ,  $Q_{io} = Q_{jo} = 0$

$$M_{io} = -2\delta_0 N_{ij} \sin \frac{\pi i}{l} / \pi \quad (\text{正弦波}) = -2\delta_0 N_{ij} / 3\varphi_2 \quad (\text{抛物線}), \quad M_{jo} = -M_{io} \quad (2)$$

b) i 端塑性関節(滑節)・ j 端剛節部材  $b' = 3EI/l^3$ ,  $c' = 3EI/l^2$ ,  $d' = 3EI/l$   
 $IK_{ii} = \begin{pmatrix} a & 0 & 0 \\ 0 & b'\varphi_1^H & 0 \\ 0 & 0 & 0 \end{pmatrix}$ ,  $IK_{ij} = IK_{ji}^T = \begin{pmatrix} -a & 0 & 0 \\ 0 & -b'\varphi_1^H & c'\varphi_2^H \\ 0 & 0 & 0 \end{pmatrix}$ ,  $IK_{jj} = \begin{pmatrix} a & 0 & 0 \\ 0 & b'\varphi_1^H & -c'\varphi_2^H \\ 0 & -c'\varphi_2^H & d'\varphi_3^H \end{pmatrix}$ ,  $N_{io} = N_{jo} = 0$ ,  $M_{io} = M_{ji}^P$

$$Q_{io} = \frac{3}{2} \varphi_1^P M_{ij}^P / l + \left\{ \frac{3\delta_0 N_{ij}}{l} \sin \frac{\pi i}{l} \varphi_2^H / \pi l \right\} \quad (\text{正弦波}) \quad M_{jo} = \frac{l}{2} \varphi_2^P M_{ij}^P + \left\{ \frac{3\delta_0 N_{ij}}{l} \sin \frac{\pi i}{l} \varphi_2^H / \pi l \right\} \quad (\text{正弦波}) \\ \delta_0 N_{ij} / \varphi_3 l \quad (\text{抛物線}), \quad \delta_0 N_{ij} / \varphi_3 \quad (\text{抛物線})$$

$$Q_{jo} = -Q_{io}, \quad \text{ただし, i 端滑節の場合には, 上式において, } M_{ij}^P = 0 \quad \text{とする.} \quad (3)$$

c) i 端剛節・ j 端塑性関節(滑節)部材  
 $IK_{ii} = \begin{pmatrix} a & 0 & 0 \\ 0 & b'\varphi_1^H & c'\varphi_2^H \\ 0 & c'\varphi_2^H & d'\varphi_3^H \end{pmatrix}$ ,  $IK_{ij} = IK_{ji}^T = \begin{pmatrix} -a & 0 & 0 \\ 0 & -b'\varphi_1^H & 0 \\ 0 & -c'\varphi_2^H & 0 \end{pmatrix}$ ,  $IK_{jj} = \begin{pmatrix} a & 0 & 0 \\ 0 & b'\varphi_1^H & 0 \\ 0 & 0 & 0 \end{pmatrix}$ ,  $N_{io} = N_{jo} = 0$ ,  $M_{jo} = M_{ji}^P$

$$Q_{io} = \frac{3}{2} \varphi_1^P M_{ji}^P / l - \left\{ \frac{3\delta_0 N_{ij}}{l} \sin \frac{\pi i}{l} \varphi_2^H / \pi l \right\} \quad (\text{正弦波}) \quad M_{io} = \frac{l}{2} \varphi_2^P M_{ji}^P - \left\{ \frac{3\delta_0 N_{ij}}{l} \sin \frac{\pi i}{l} \varphi_2^H / \pi l \right\} \quad (\text{正弦波}) \\ \delta_0 N_{ij} / \varphi_3 l \quad (\text{抛物線}), \quad \delta_0 N_{ij} / \varphi_3 \quad (\text{抛物線})$$

$$Q_{jo} = -Q_{io}, \quad \text{ただし, j 端滑節の場合には, 上式において, } M_{ji}^P = 0 \quad \text{とする.} \quad (4)$$

d)両端塑性関節(一端塑性関節・他端滑節・両端滑節)部材

$$IK_{ii} = -IK_{ij} = -IK_{ji} = IK_{jj} = \begin{bmatrix} a & 0 & 0 \\ 0 & 0 & 0 \\ 0 & 0 & 0 \end{bmatrix}, \quad N_{io} = N_{jo} = 0, \quad M_{io} = M_{ij}^P, \quad M_{jo} = M_{ji}^P \quad (5)$$

$$Q_{io} = (M_{ij}^P + M_{ji}^P - N_{ij}^P \delta_i) / l, \quad Q_{jo} = -Q_{io}$$

ただし、i 端滑節の場合、 $M_{ij}^P = 0$ 、j 端滑節の場合、 $M_{ji}^P = 0$ 、両端滑節の場合、 $M_{io} = M_{jo} = Q_{io} = 0$

e) 限界軸方向力部材

$$IK_{ii} = IK_{ij} = IK_{ji} = IK_{jj} = \begin{bmatrix} 0 & 0 & 0 \\ 0 & 0 & 0 \\ 0 & 0 & 0 \end{bmatrix}, \quad N_{io} = N_{ij}^P \text{ (or } N_{ij}^B\text{)}, \quad N_{jo} = -N_{io} \quad (6)$$

$$Q_{io} = (M_{ij}^P + M_{ji}^P - N_{ij}^P \delta_i) / l, \quad Q_{jo} = -Q_{io}, \quad M_{io} = M_{ij}^P, \quad M_{jo} = M_{ji}^P$$

f) 中間塑性歛節部材 杖端より  $l_a$ 、杖端  $j$  より  $l_b$  の距離にある第  $m$  に塑性歛節があるものとすれば、

$$IK_{ii} = \begin{bmatrix} a & 0 & 0 \\ 0 & b' \varphi_3^H & c' \varphi_{3i}^H \\ 0 & c' \varphi_{3i}^H & d' \varphi_4^H \end{bmatrix}, \quad IK_{ij} = IK_{ji}^T = \begin{bmatrix} a & 0 & 0 \\ 0 & b' \varphi_3^H & c' \varphi_{3i}^H \\ 0 & c' \varphi_{3i}^H & d' \varphi_4^H \end{bmatrix}, \quad IK_{jj} = \begin{bmatrix} a & 0 & 0 \\ 0 & b' \varphi_3^H & c' \varphi_{3j}^H \\ 0 & c' \varphi_{3j}^H & d' \varphi_4^H \end{bmatrix}, \quad N_{io} = N_{jo} = 0$$

$$Q_{io} = -Q_{jo} = \begin{cases} 3 \delta_i N_{ij} \{ \varphi_{3i}^H - \varphi_{3i}^P + \pi \varphi_3^P \sin(\pi l_a / l) / 2 \} / \pi l & \text{(正弦波)} \\ 12 \delta_i N_{ij} \{ \varphi_{3i}^H - \varphi_{3i}^P - \varphi_3^P \} / k_e^2 l^3 & \text{(拡物線)} \end{cases} \quad (7)$$

$$M_{io} = \frac{1}{2} \varphi_{4i}^P M_{mi} + \begin{cases} 3 \delta_i N_{ij} \{ \varphi_4^H - \varphi_{4i}^H + \pi \varphi_4^P \sin(\pi l_a / l) / 6 \} / \pi & \text{(正弦波)} \\ 4 \delta_i N_{ij} \{ 3(\varphi_{4i}^H - \varphi_4^H) - \varphi_{4i}^P - 2 \} / k_e^2 l^2 & \text{(拡物線)} \end{cases} \quad (7)$$

$$M_{jo} = -\frac{1}{2} \varphi_{4j}^P M_{mi} - \begin{cases} 3 \delta_i N_{ij} \{ \varphi_4^H - \varphi_{4j}^H - \pi \varphi_4^P \sin(\pi l_b / l) / 6 \} / \pi & \text{(正弦波)} \\ 4 \delta_i N_{ij} \{ 3(\varphi_{4j}^H - \varphi_4^H) - \varphi_{4j}^P - 2 \} / k_e^2 l^2 & \text{(拡物線)} \end{cases} \quad (7)$$

以上において、 $k_e^2 = |N_{ij}| / EI$ 、 $\lambda = \pi^2 / (\pi^2 + k_e^2 l^2)$  ( $N_{ij} > 0$ ) =  $\pi^2 / (\pi^2 + k_e^2 l^2)$  ( $N_{ij} < 0$ ) であり、各種の安定性係数は、 $\varphi_1 = k_e l \sinh k_e l / 2(1 - \cosh k_e l)$  ( $N_{ij} > 0$ ) =  $k_e l \sinh k_e l / 2(\cosh k_e l - 1)$  ( $N_{ij} < 0$ )、 $\varphi_2 = k_e^2 l^2 / 12(1 - \varphi_1)$  ( $N_{ij} > 0$ ) =  $k_e^2 l^2 / 12(\varphi_1 - 1)$  ( $N_{ij} < 0$ )、 $\varphi_3 = (3\varphi_2 + \varphi_1) / 4$ 、 $\varphi_4 = (3\varphi_2 - \varphi_1) / 2$ 、 $\varphi_5 = \varphi_1 \varphi_2$ 、 $\varphi_1^H = 4\varphi_5 - 3\varphi_2^2 / \varphi_3$ 、 $\varphi_2^H = \varphi_5 / \varphi_3$ 、 $\varphi_1^P = \varphi_2 / \varphi_3$ 、 $\varphi_2^P = \varphi_4 / \varphi_3$ 、 $\varphi_3^H = k_e^3 \lambda^3 \cosh k_e l \sinh k_e l / 3D$ 、 $\varphi_{3i}^H = \varphi_3^H \tanh k_e l_a / k_e l$ 、 $\varphi_{3j}^H = \varphi_3^H \tanh k_e l_b / k_e l$ 、 $\varphi_4^H = k_e l \sinh k_e l_a \sinh k_e l_b / 3D$ 、 $\varphi_{4i}^H = \varphi_3^H - \varphi_4^H$ 、 $\varphi_{4j}^H = \varphi_3^H - \varphi_4^H$ 、 $\varphi_3^P = 2k_e l (\cosh k_e l_b - \cosh k_e l_a) / 3D$ 、 $\varphi_{4i}^P = 2(k_e l \cosh k_e l_b - \sinh k_e l_a - \sinh k_e l_b) / D$ 、 $D = \sinh k_e l_b - \cosh k_e l_a \cosh k_e l_b$

によって計算される。なお、上記以外の記号の説明は講義会の当日行なう。

3. 解析法の概要 極限耐力を算定するための荷重強度の増加方法や崩壊過程の追跡法は、文献 1) の場合とほぼ一致するので詳細については省略し、解析手順の概略を示せば図-1 のフローチャートのようである。

4. 解析例 簡単な内型ラーメンと文献 1) で用いた例題とにおいて、元にわみ量  $\delta_0 / l = 1/100$  をもつ部材を適当に配置して、種々の例題について数値計算を行なったが、結果の詳細については講義会の当日報告する。

5. むすび 本研究で得られた結果を總括すればつきのようである。

1) 部材のもつ元にわみが骨組の崩壊過程や極限耐力にあらわす影響は、例題によつてまちまちであり、一定の傾向を見出すことは困難であつたが、たゞ、荷重によつて生じる部材の曲げ変形を助長する方向に元にわみが存在する場合には、元にわみがない場合に比較して極限耐力は低下すると云ふ。

2) 元にわみ部材を適当に配置したローゼ折半戻の例題において、元にわみ部材に中間塑性歛節の発生がみられ、これを無視した場合の結果と比較して低い極限耐力を示したことから、元にわみ部材の存在する骨組の解析においては、中間塑性歛節の発生を考慮した解析の必要性がうかがわれる。

参考文献 1) 岐嶋・平尾 “平面剛滑節構造物の一自動極限解析”

土木学会論文報告集 第 218 号・1973 年 10 月 P.P. 19 ~ 30

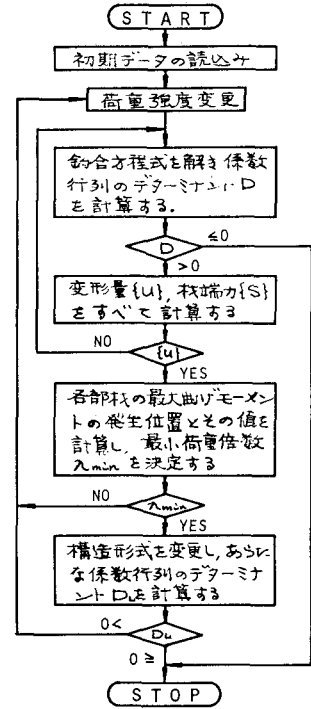


図-1 フローチャート